

ガラス転移の物理

最近の蒸着分子ガラスの研究について

東京大学物性研究所
附属中性子科学研究施設
山室 修



全学自由研究ゼミナール
2011年6月10日 駒場キャンパス

今日の話の概要

(1) ガラス転移とガラス物性の概論

ガラス転移とは？

関連する緩和現象について

ガラス転移の理論

(2) 蒸着分子ガラスの熱力学と中性子散乱

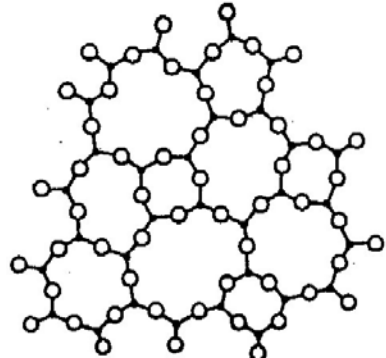
実験装置について

熱測定で見た蒸着ガラスのガラス転移

中性子回折でみた蒸着ガラスの構造

中性子非弾性散乱で見た蒸着ガラスの低エネルギー励起

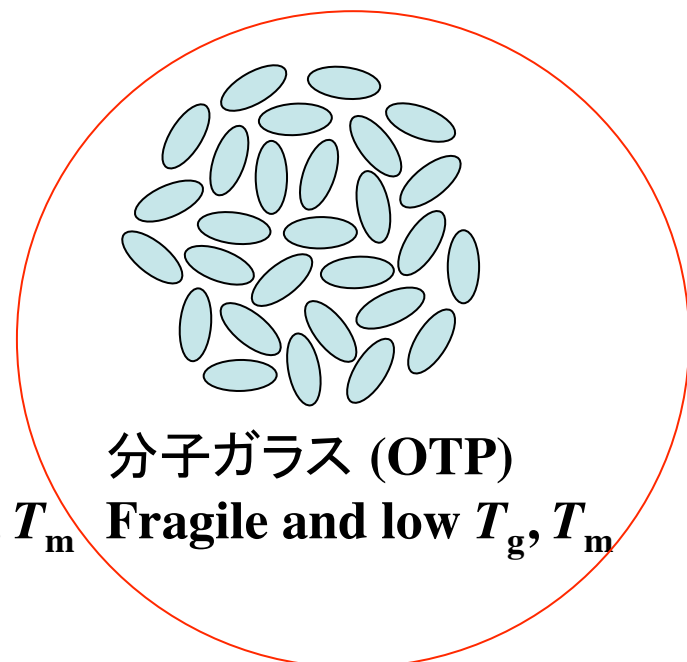
ガラスの分類



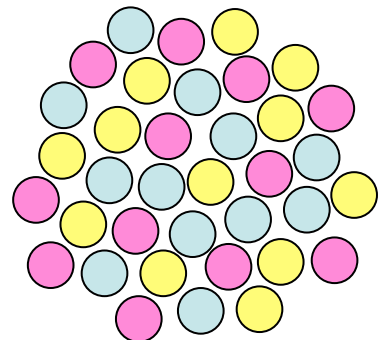
ネットワークガラス(e.g. SiO_2)
Strong and high T_g, T_m



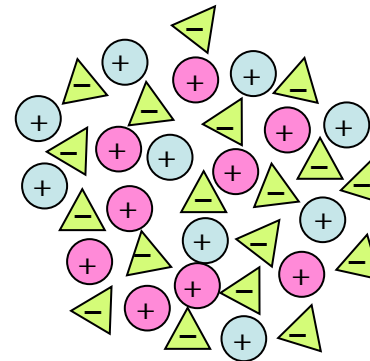
高分子ガラス(PMMA)
Fragile and medium T_g, T_m



分子ガラス (OTP)
Fragile and low T_g, T_m



金属ガラス(e.g. Ni-Zr-Cu)
Fragile and high T_g, T_m



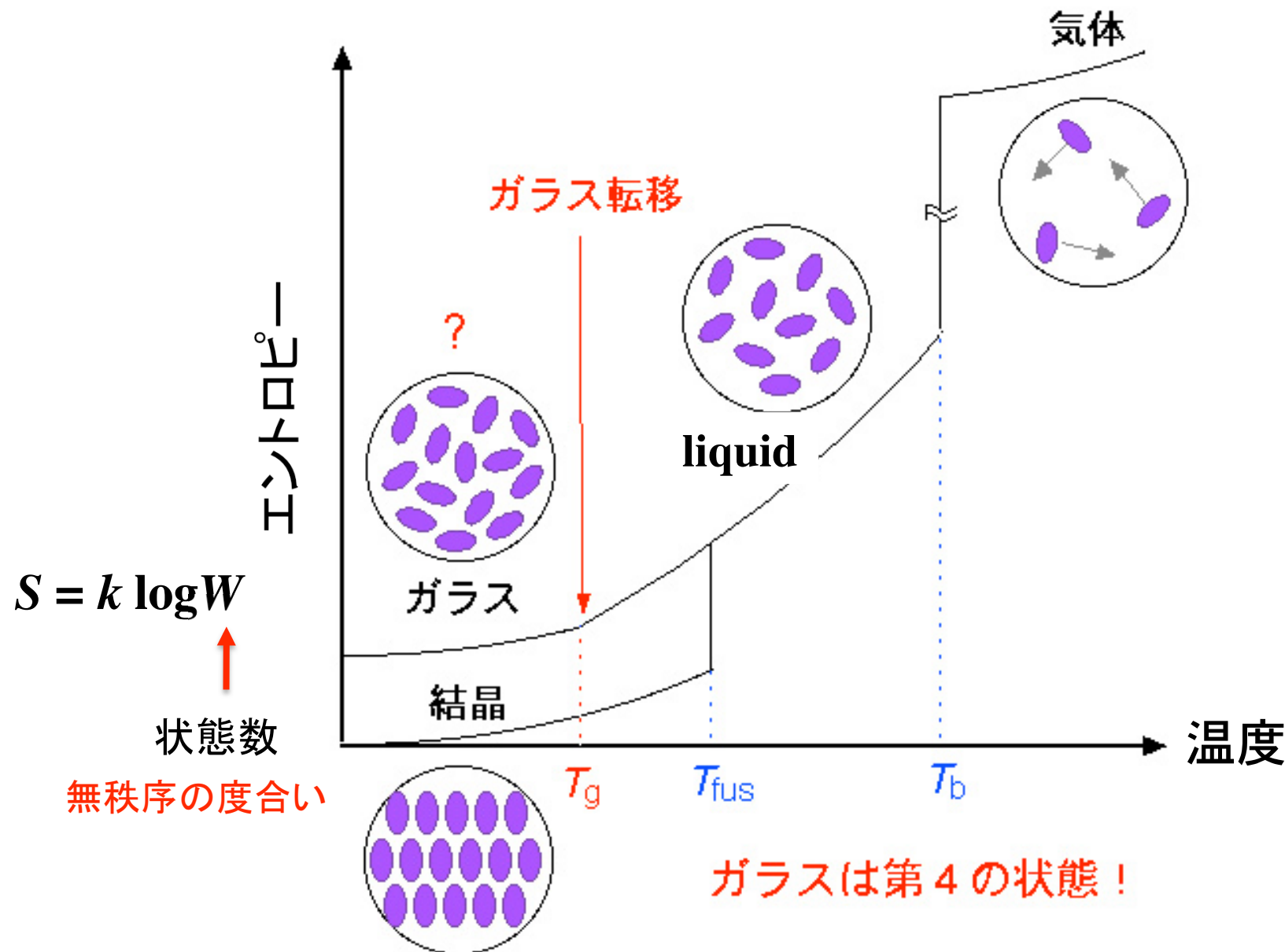
溶融塩ガラス(e.g. CKN)
Fragile and high T_g, T_m

基礎研究には最適

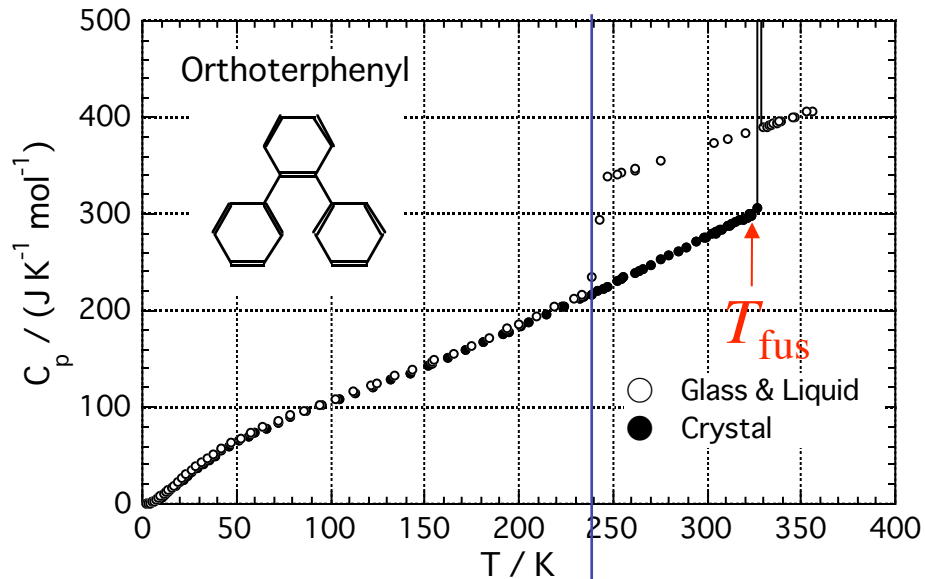
日常生活で見られるガラス転移現象



物質の状態とエントロピーの関係

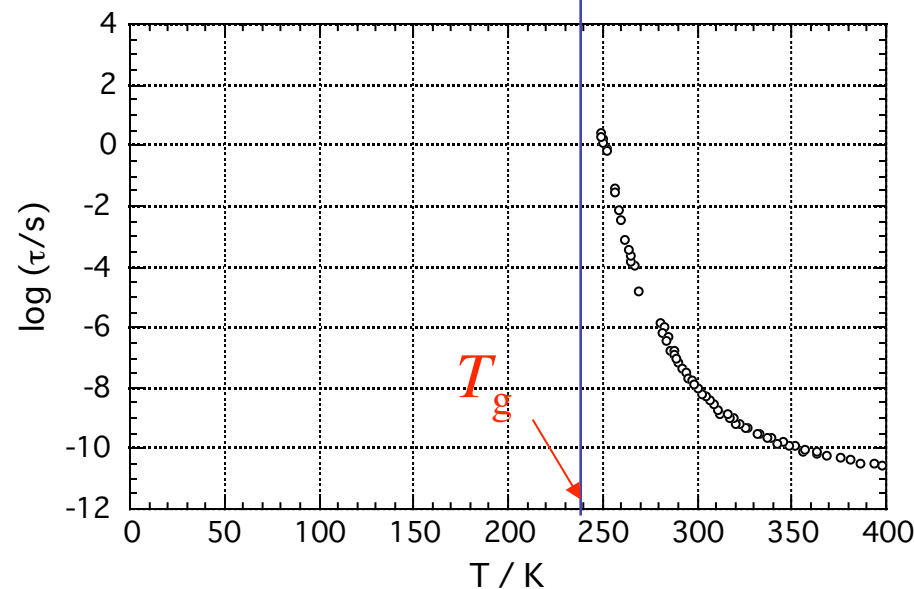


熱容量と α 誘電緩和時間



熱容量のジャンプ

$$C_p = T \left(\frac{\partial S}{\partial T} \right)_p$$

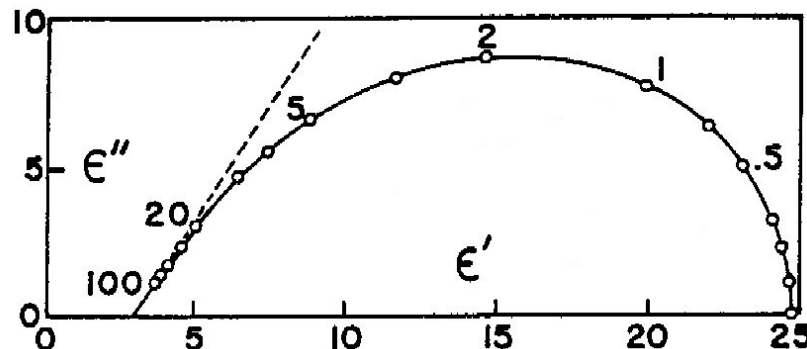


α 緩和時間の発散

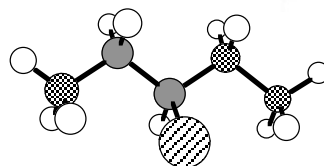
ガラス転移は動的転移！

凍結現象とも言える

誘電率で見た α 緩和



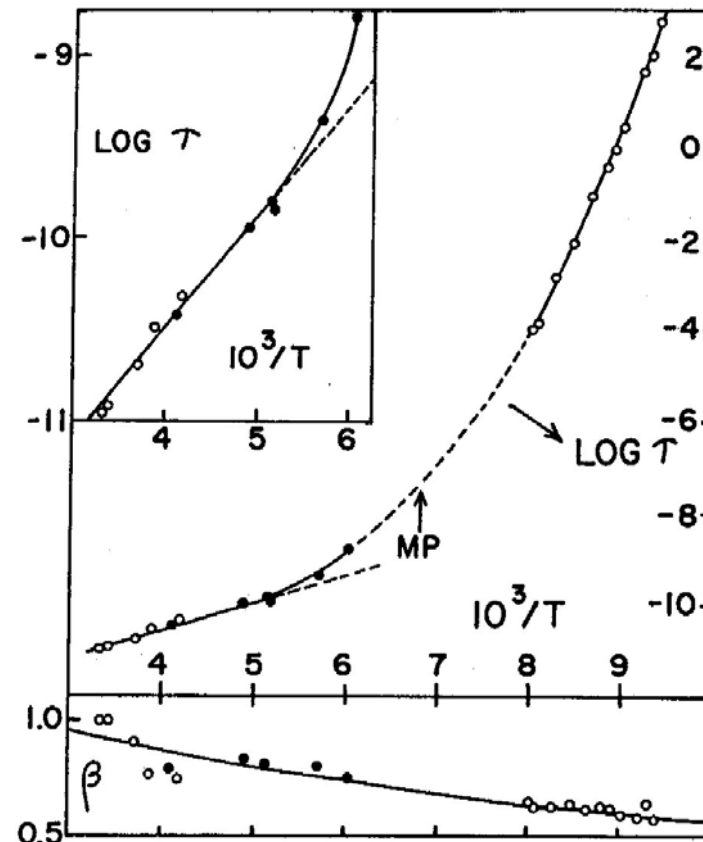
3-bromopentane



$$\phi(\omega) = \frac{1}{\left\{1 + [i\omega\tau(T)]^\alpha\right\}^\gamma} \quad \text{HN equation}$$

$$\phi(\omega) = F\left\{\exp\left[-(t/\tau)^\beta\right]\right\} \quad \text{KWW equation}$$

非指数関数性
(非デバイ性)

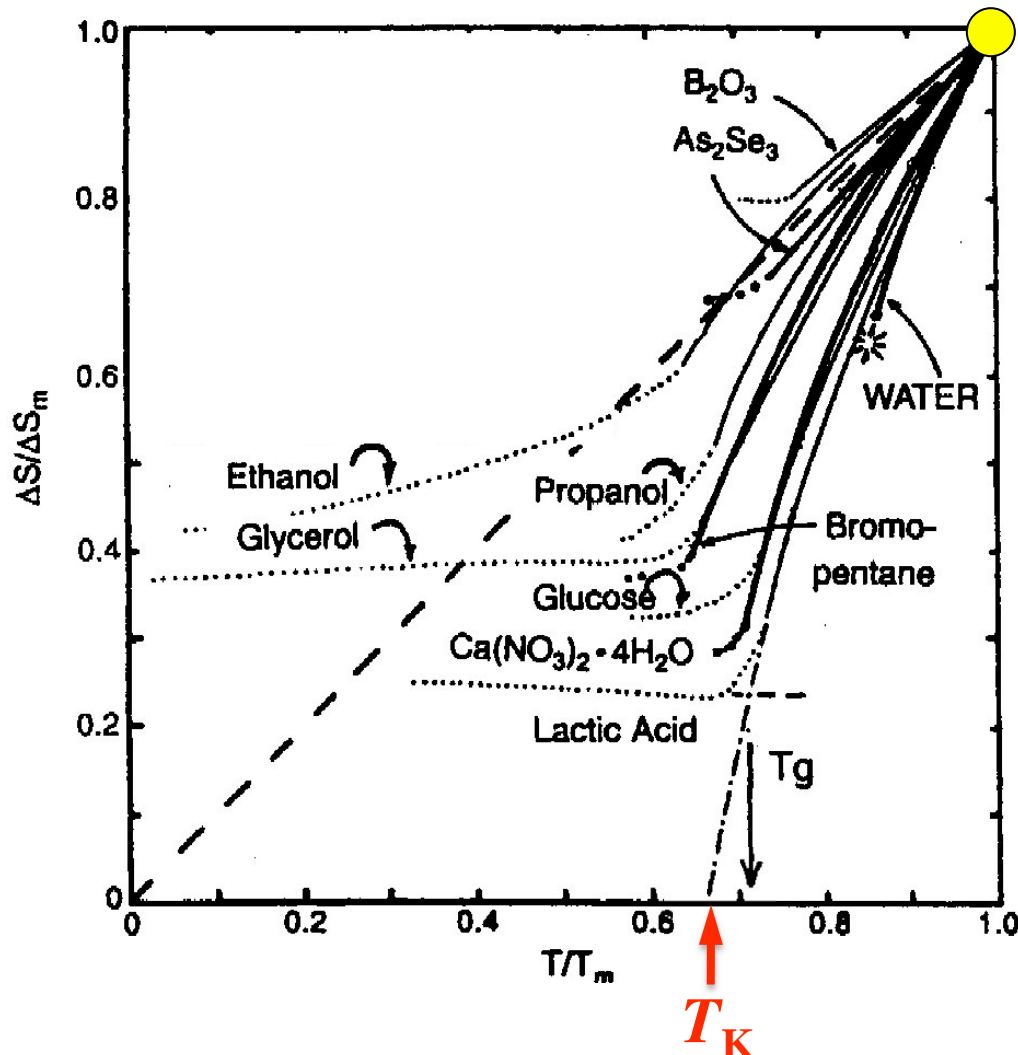


$$\tau = \tau_0 \exp[A/(T - T_0)] \quad \text{VTF 式}$$

非アレニウス性と温度 T_0 での発散

なぜ絶対零度ではなく有限温度で発散するのか？

構造エントロピーとカウツマンパラドックス



融点

構造エントロピー

液体の乱れに関係
したエントロピー

$$\Delta S = \Delta S_m - \int_T^{T_m} (\underline{\Delta C_p / T}) dT$$

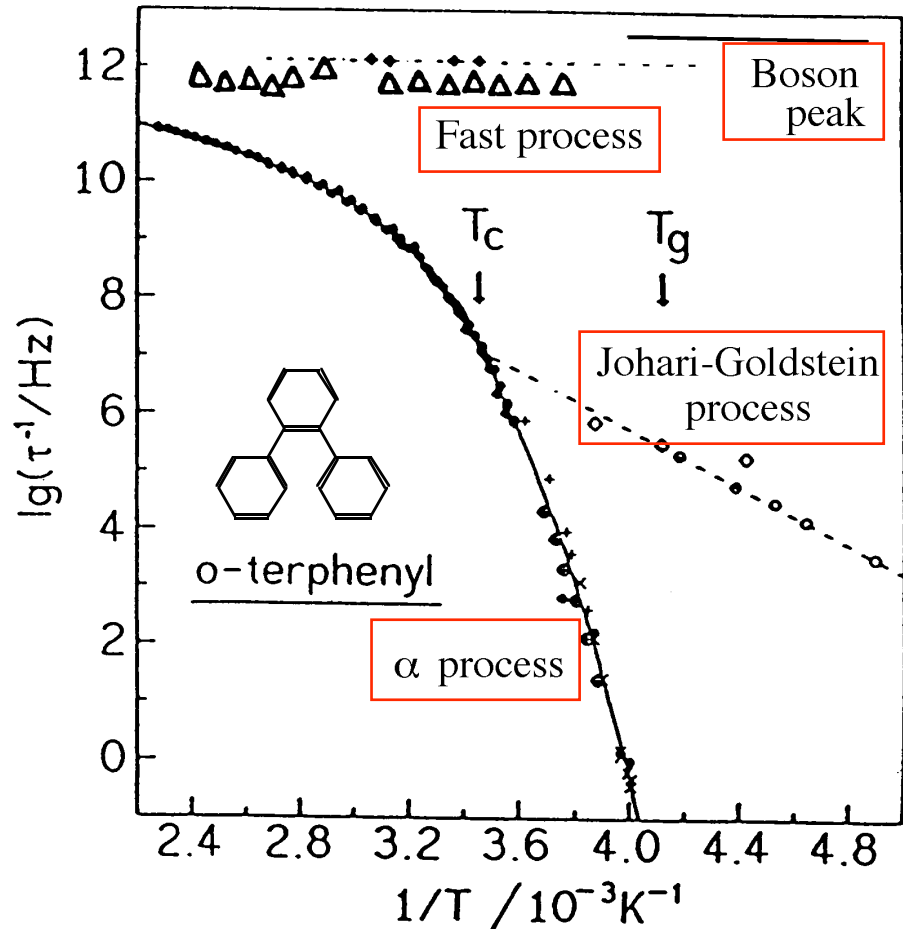
液体と結晶の熱容量差

W. Kauzmann 1948

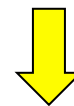
T_K

液体のエントロピーが T_K 以下では結晶よりも小さくなってしまう。もし T_K 以上で転移が起こらなければ...

様々な緩和過程とボゾンピーク



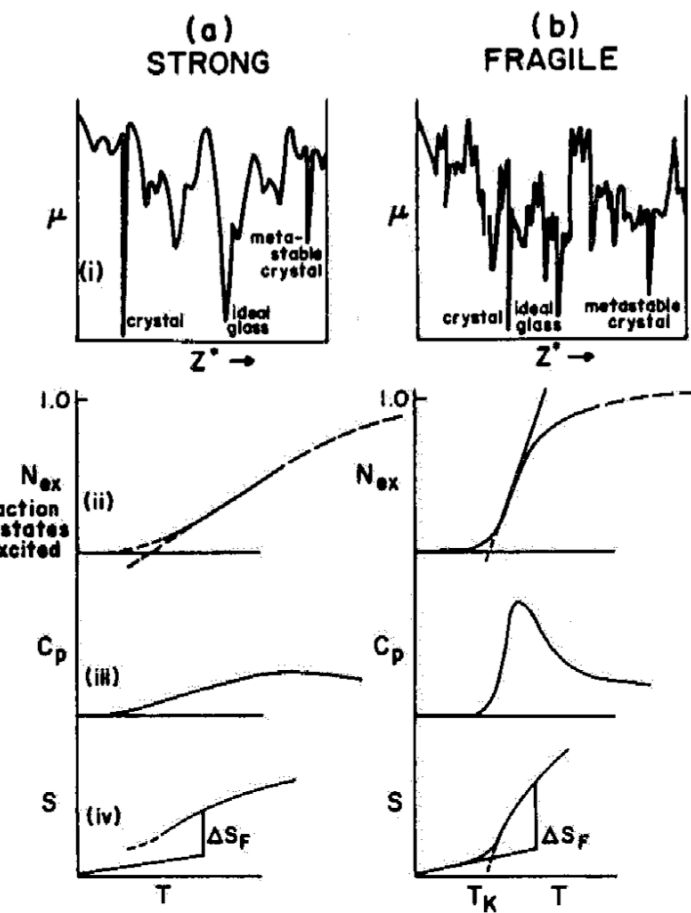
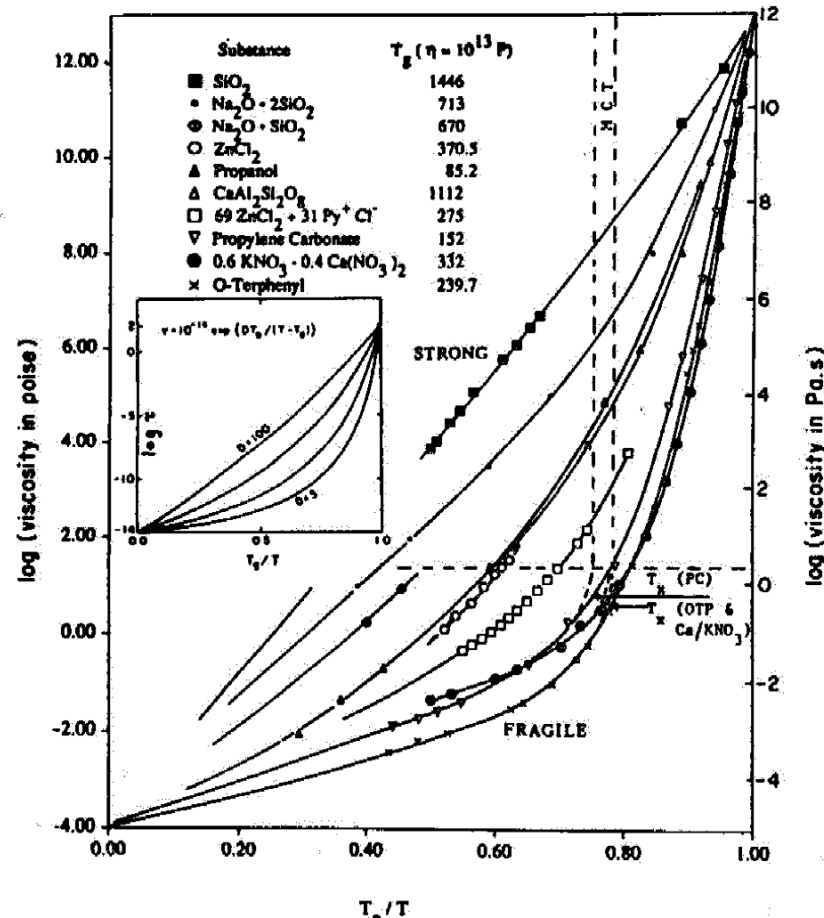
- α process
ガラス転移に関係 ($\tau = 100\text{--}1000\text{s}$ at T_g)
非アレニウス性, 非指数関数性が特徴
- Johari-Goldstein β
アレニウス的温度変化, α から分離
- Fast β process
周波数の温度変化小, T_g 付近から始まる
- Boson peak
ブロードな振動励起



これらを統一的に説明
するモデルが必要

誘電緩和、光散乱、NMR、中性子
散乱などで測定

フラジリティーとエネルギー地形 (Angell 1984)

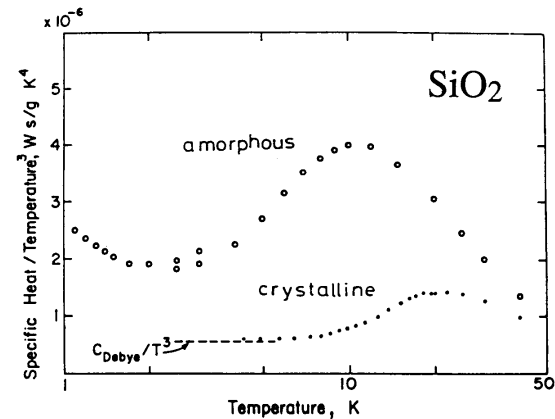


$$\text{Fragility: } m = [d \log \tau / d(T_g/T)]_{T=T_g}$$

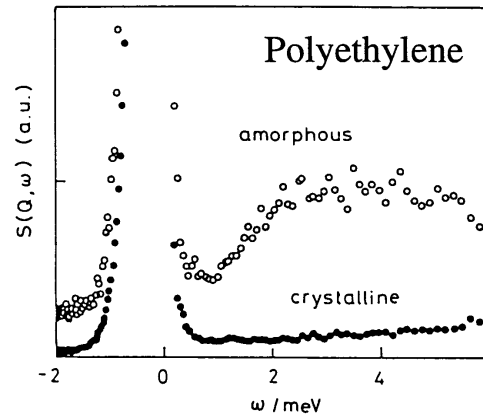
Strong : network liquids (e.g. $m = 20$ in SiO_2)

Fragile : molecular liquids, polymers, molten salt (e.g. $m = 80$ in OTP)

ボゾンピーク(ガラス特有の低エネルギー励起)



SiO_2 ガラスの比熱
(Zeller & Pohl 1971)
↓
非デバイ型過剰比熱



Polyethylene
amorphous
crystalline
↓
ポリエチレンの中性子散乱
(Kanaya et al. 1988)
↓
ブロードな励起ピーク

ボゾンピークの特徴

- ほとんど全てのガラスで見られる
- ピーク位置はあまり物質に依らない ($T_{\text{max}} = 3\text{--}10$ K, $\omega_{\text{max}} = 2\text{--}5$ meV)
- 温度依存性はボーズスケールできる → 調和振動子的
- 分散関係なし → 局在モード

Soft potential model, Broken network model, Coupled rotation modelなどのモデルやシミュレーション

しかし、全てを統一的に説明できるモデルはなく、起源は未解明

ガラス転移理論の発展

自由体積理論（1951～）

Doolittle, Cohen, Turnbull, Grest など

エントロピー理論（1958～）

Gibbs, DiMarzio, Goldstein など

Adam-Gibbs 理論（1965～）

Coupling モデル（1984～）

Ngai

モード結合理論（1984～）

Gotze, Leutheusser, Marenko, Schilling など

Energy Landscape, Fragility などの概念（1988～）

Angell

トラッピング拡散モデル（1990～）

小田垣, 橋渡

(Free) Energy Landscape の計算法の確立（1999～）

Parisi, Sciortino, Sastry, Sillinger など

4体相関による動的不均一、動的相関長の解析（1998～）

山本, 小貫, Reihman, Bouchaid, 宮崎 など

ガラス物性の謎をまとめると

- ・ α 緩和時間の有限温度での発散
- ・ 理想ガラス、理想ガラス転移の存在の有無
- ・ 2つの β 緩和の起源
- ・ ボゾンピークの起源



多くのモデルがこれらの謎を部分的には説明

自由体積理論、Adam-Gibbs理論、モード結合理論、. . .



しかし、全ての謎を説明できるモデルはない

研究における最大の問題はガラス転移温度以下では
平衡状態を実現できること

なぜ蒸着ガラスを研究するのか？

(1) 単純な構造の分子ガラスを研究するため

明快な議論、例えば理論や計算機シミュレーションの結果と直接比較ができる



しかし、単純な分子ガラスは容易に結晶化する



非常に速い冷却が必要(結晶化する前に固める)

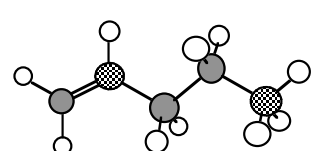
蒸着法が最速の冷却法 ($\sim 10^7 \text{ Ks}^{-1}$)

(2) 平衡状態から大きく離れたガラスを研究するため

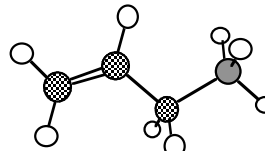
構造の乱れと様々な物性(例えばボゾンピーク)の関係を研究できる

分子ガラスを作るのに必要な冷却速度

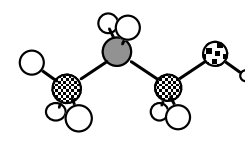
実験装置の中で普通に冷却 ($\sim 0.1 \text{ K/s}$)



Pentene

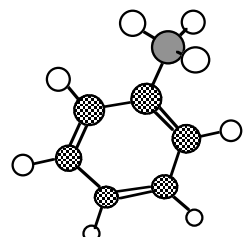


Butene

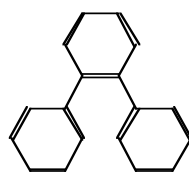


Propanol

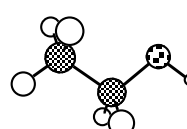
液体を急冷 ($\sim 10 \text{ K/s}$) 例えば、液滴を液体窒素に落とす



Toluene

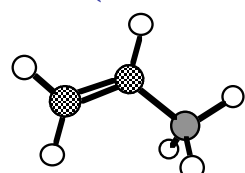


OTP

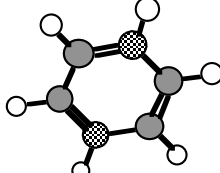


Ethanol

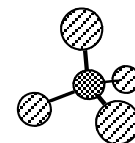
蒸着 ($\sim 10^7 \text{ K/s}$)



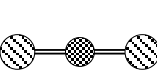
Propene



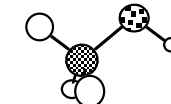
Benzene



CCl₄

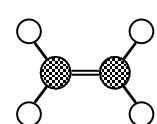


CS₂

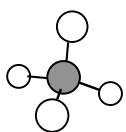


Methanol

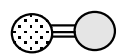
これまでガラスになったことはない



Ethane



Methane



N₂

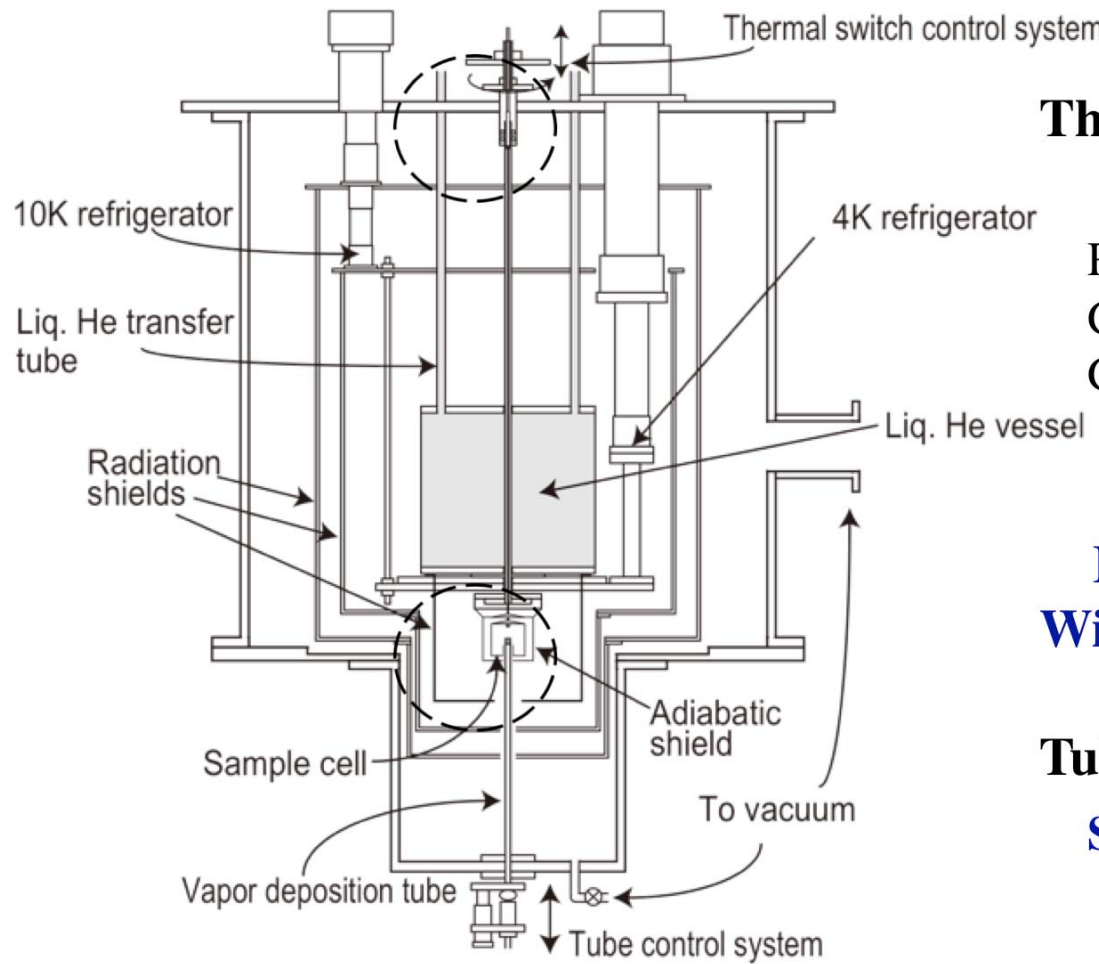


Ar

冷却速度



低温蒸着用断熱型熱量計



Thermal switch control system & separate cooling

Radiation shields → 10 K head
Cell (at VD) → 4 K head
Cell (at lowest T) → He vessel (1.5 K)



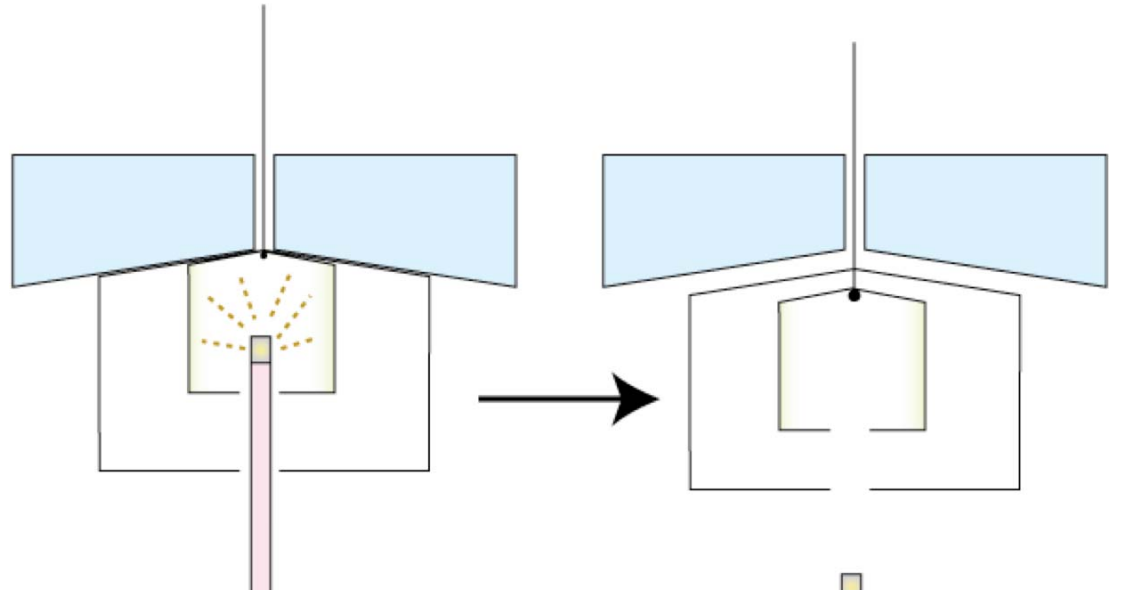
Long VD period (> 1 month)
Wide measurement range (4-100 K)

Tube control system Separation of VD and meas. parts



Low VD temperature: 10 K

熱スイッチと蒸着チューブ上下機構

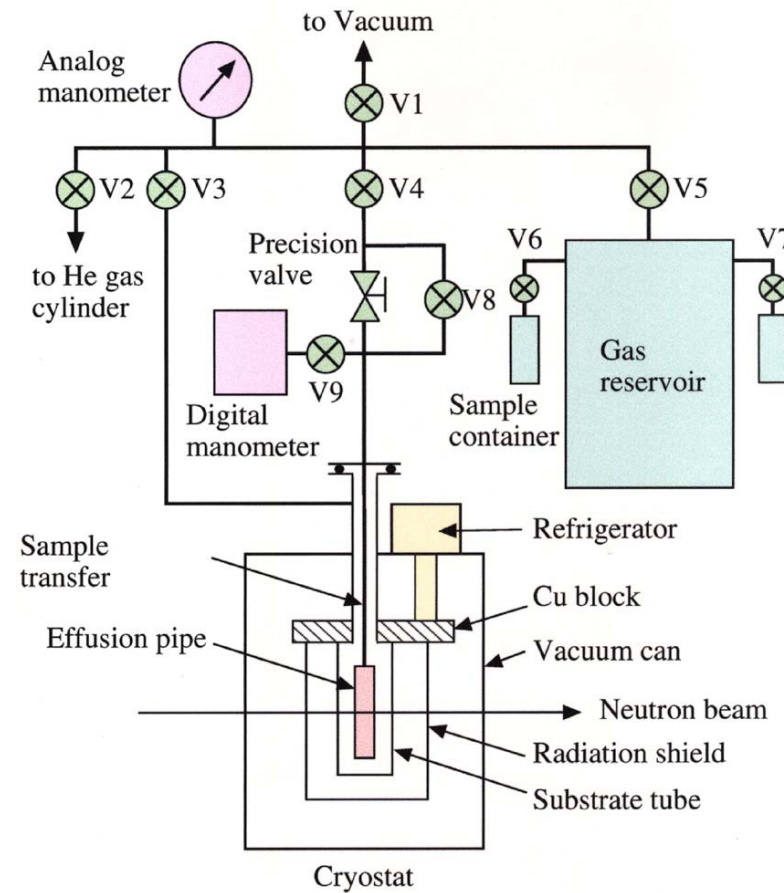
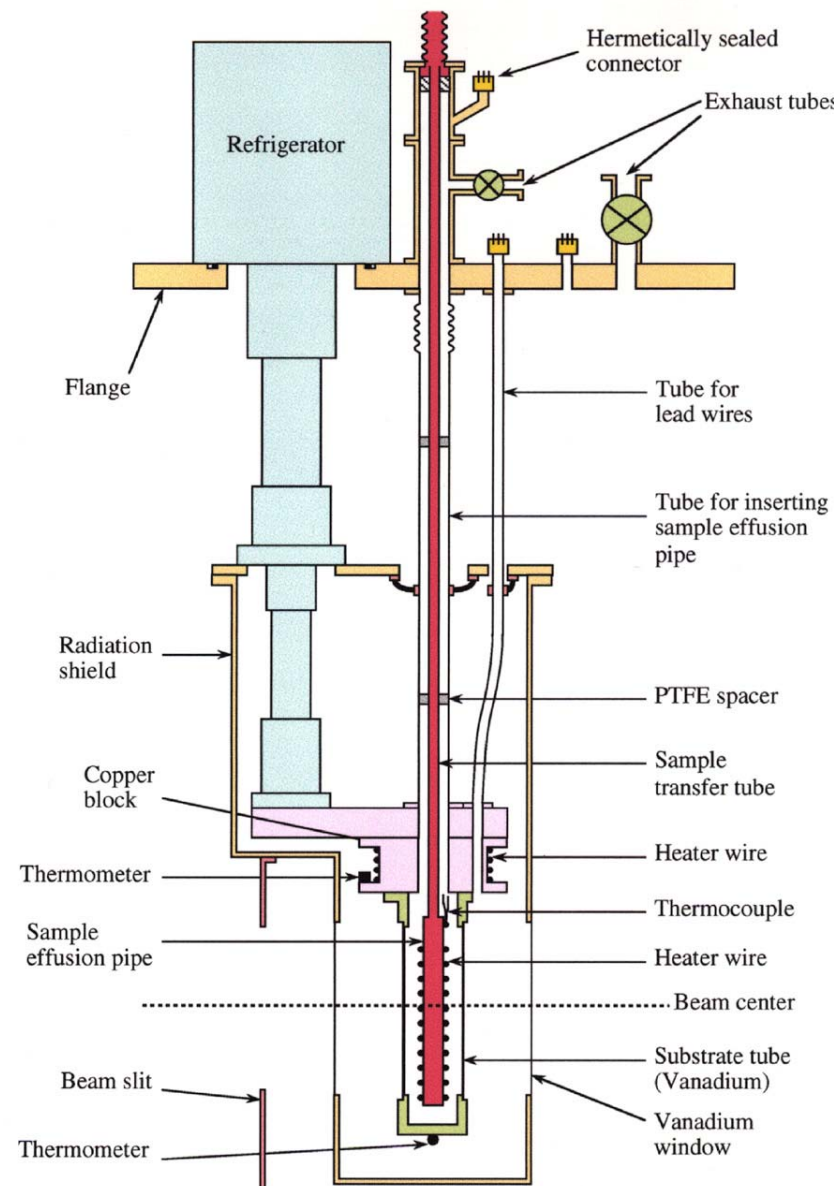


蒸着中

熱容量測定中

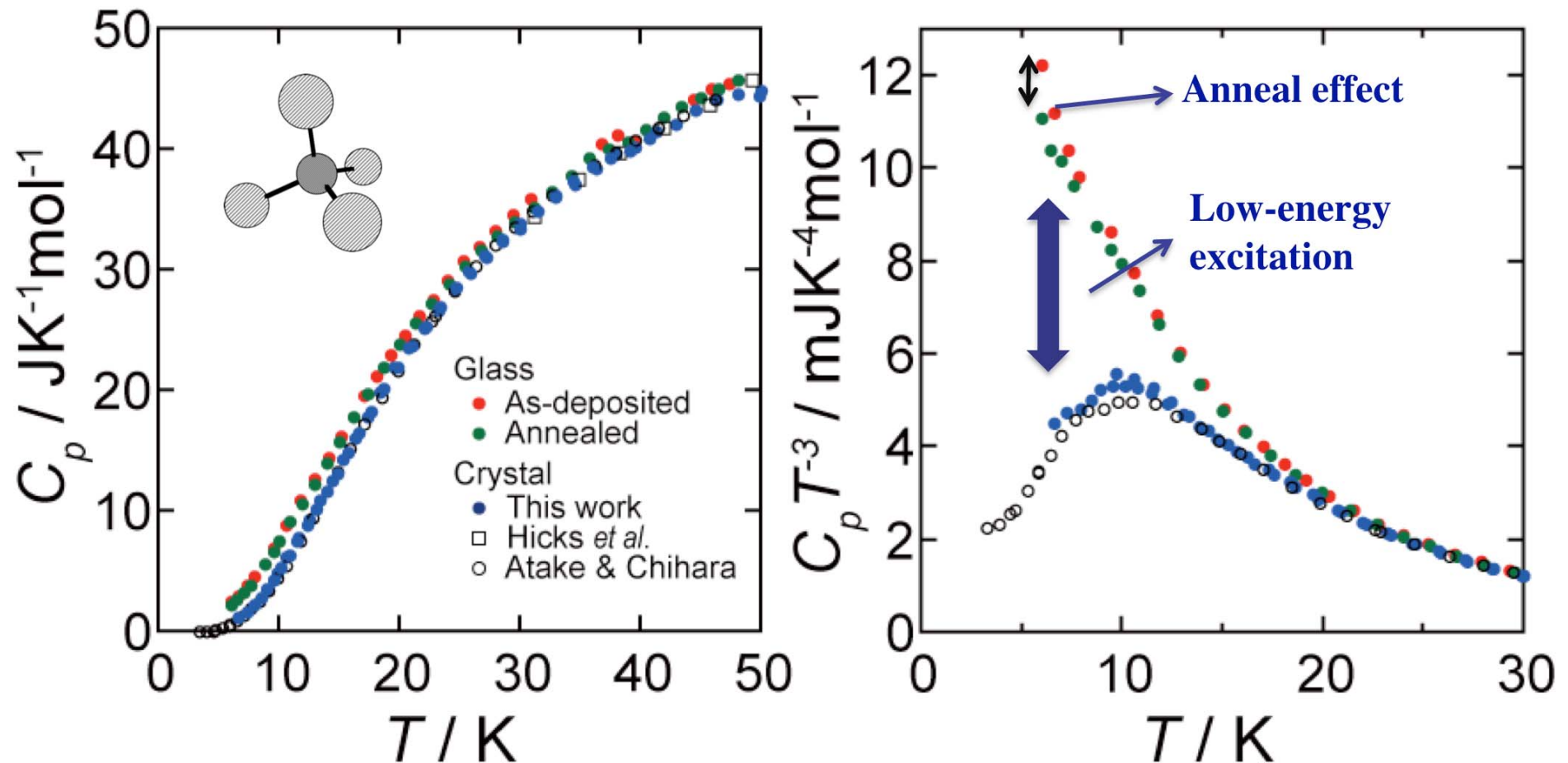
蒸着チューブと試料容器は非接触

蒸着試料用中性子散乱クライオスタット



VD temp.: 7 K
VD rate: 10 μm/h
Sample thickness: 100 μm

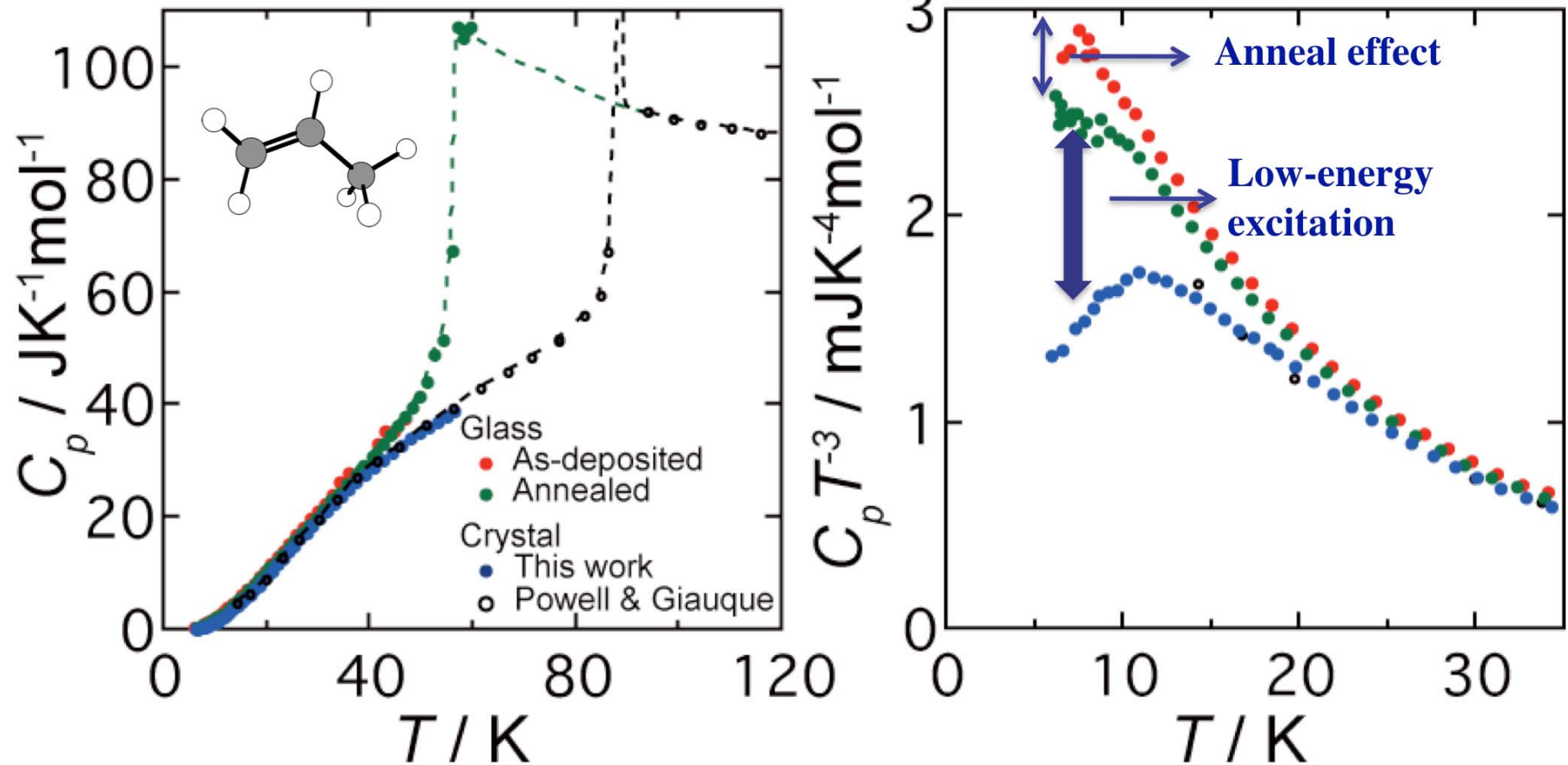
CCl_4 の低温熱容量と低エネルギー励起



ボゾンピークによる低エネルギー励起とそのアニール効果を観測

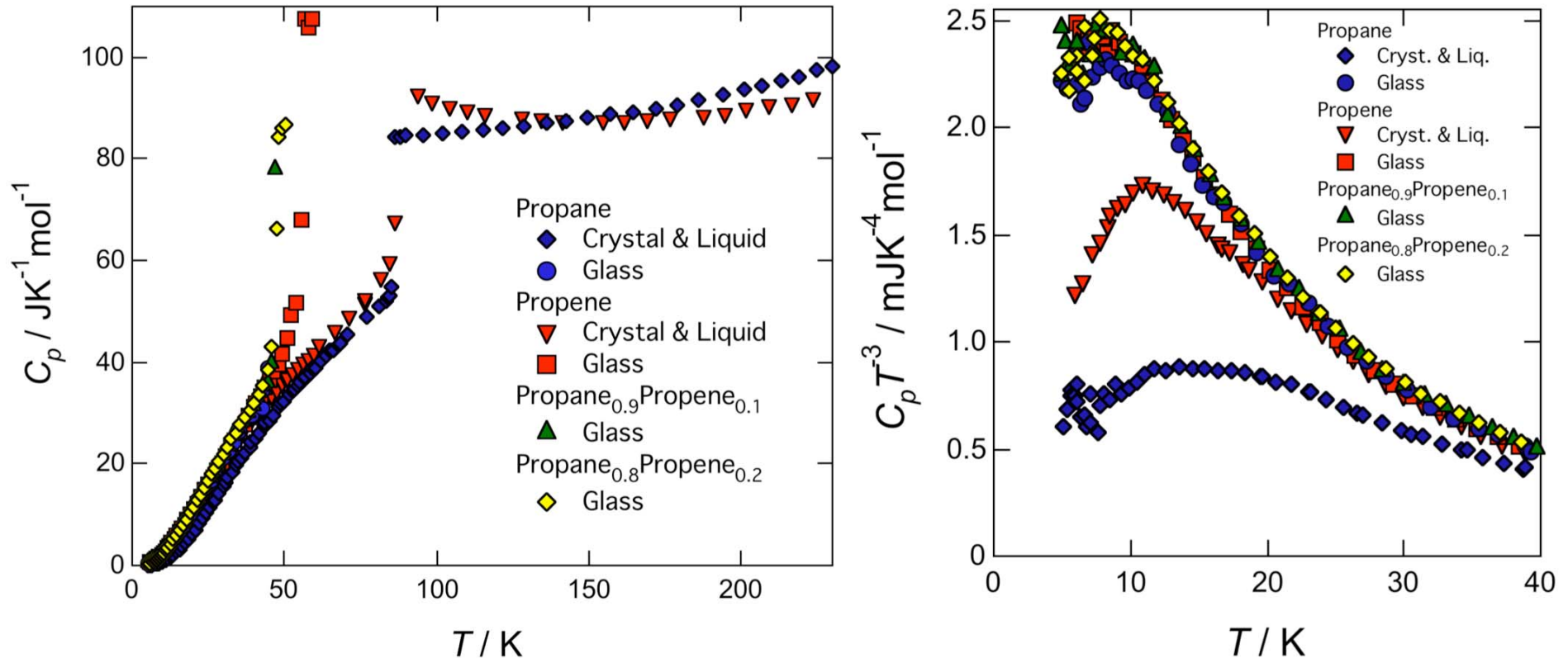
試料は50 Kで結晶化したためガラス転移は観測されなかった

プロペンのガラス転移と低エネルギー励起



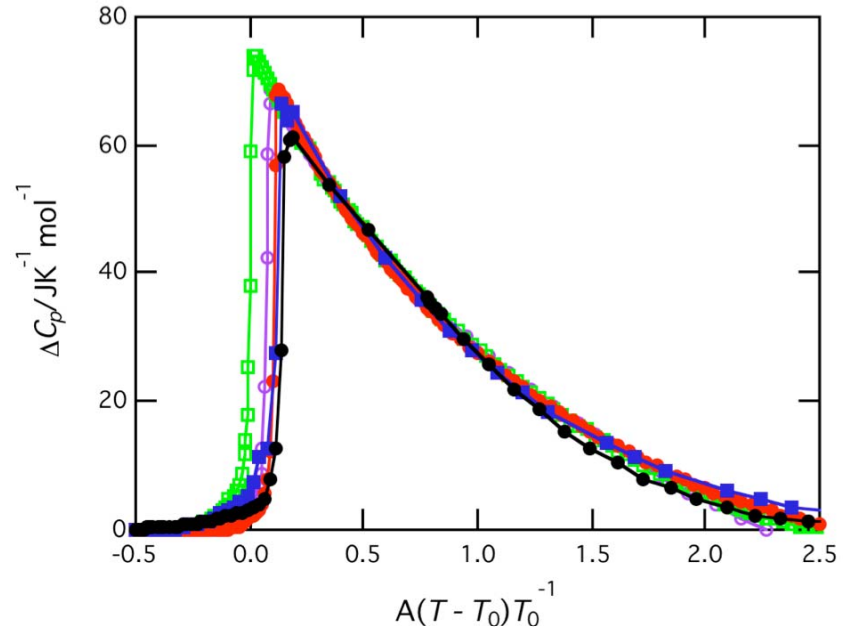
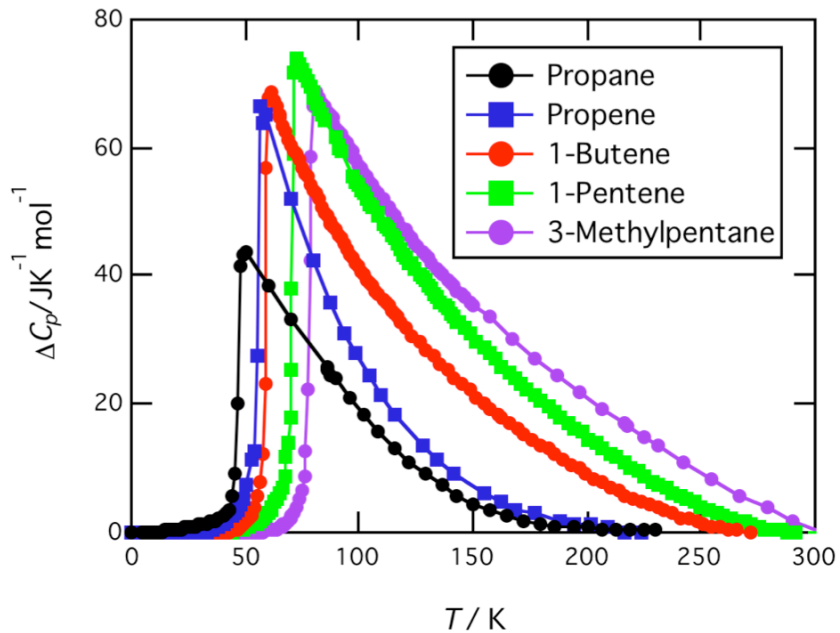
大きなガラス転移と低エネルギー励起を観測！

プロパンのガラス転移と低エネルギー励起 プロペンのデータとの比較



- ・プロペンを20%添加することでプロパンのガラス転移を観測
- ・プロパンのガラス転移温度($T_g = 45\text{K}$)は過去最低！
- ・プロパンの液体の C_p はプロペンの液体の熱容量と大きく異なるが、両者のガラスの熱容量はほとんど同じ

過剰熱容量のスケーリング

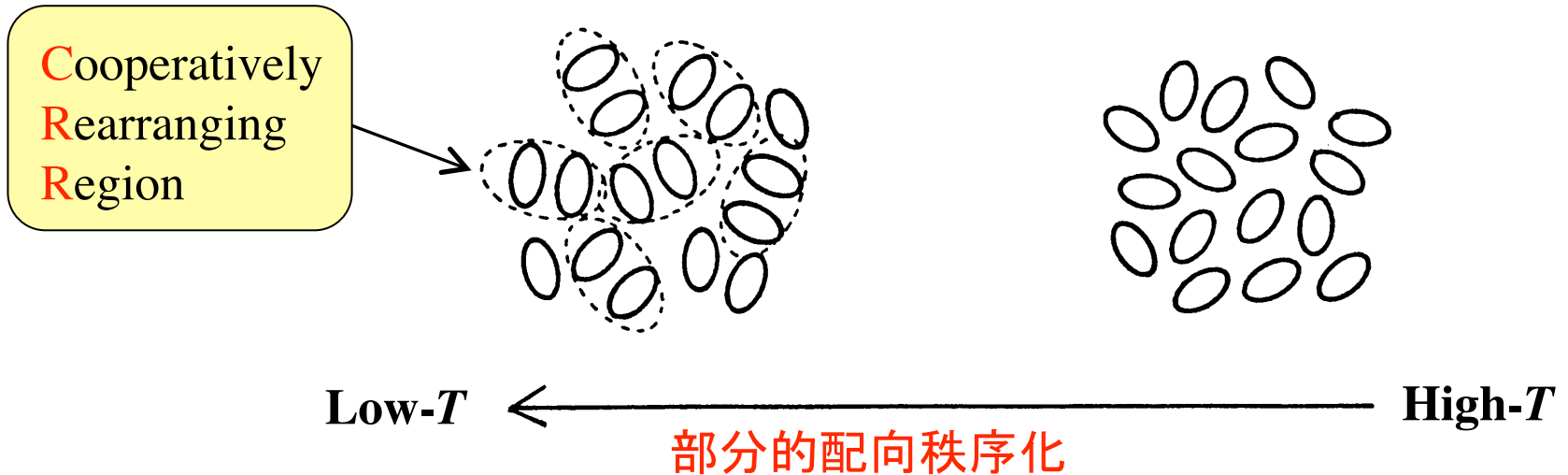


	Propane	Propene	1-Butene	1-Pentene	3-Methylpentane
T_g / K	45.5	56.0	60.0	71.7	77.0
T_K / K	38.0	49.8	49.3	55.9	59.8
T_0 / K	38.0	49.8	49.4	70.1	70.3
$S_{\text{res}} / \text{JK}^{-1} \text{mol}^{-1}$	9.35	6.09	13.1	18.1	20.4
$Z_{\text{CRR}}(0)$	4.43	7.17	4.71	3.76	3.34

ΔC_p は T_g と T_K の間の温度 T_0 でスケールできる

この結果は ΔC_p の普遍性と
理想ガラス転移の存在を示唆している

Adam-Gibbs理論と C_p データからCRRサイズを求める方法



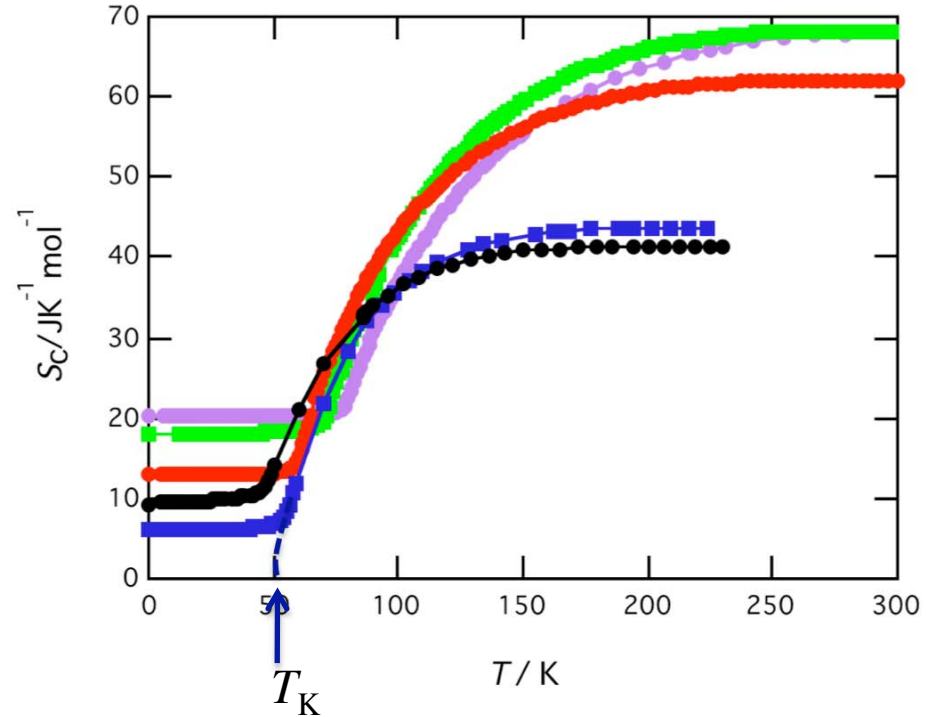
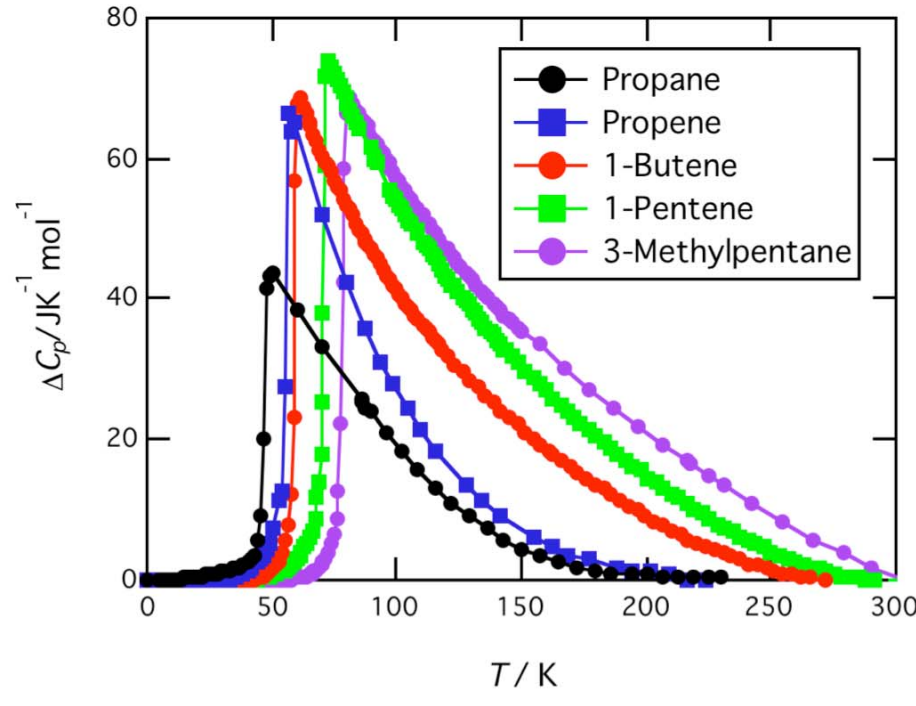
Configurational entropy $S_c(T) = \Delta_{\text{fus}} S - \int_T^{T_{\text{fus}}} [C_p^{\text{liq}}(T') - C_p^{\text{gl}}(T')] / T' dT'$

$$- \int_0^{T_{\text{fus}}} [C_p^{\text{gl}}(T') - C_p^{\text{cr}}(T')] / T' dT'$$

Extrapolation to $T = \infty$ $S_c(T) = s_c * N_A - A / T^2$

Size (mol. no.) of CRR $z^*(T) = s_c * N_A / S_c(T)$

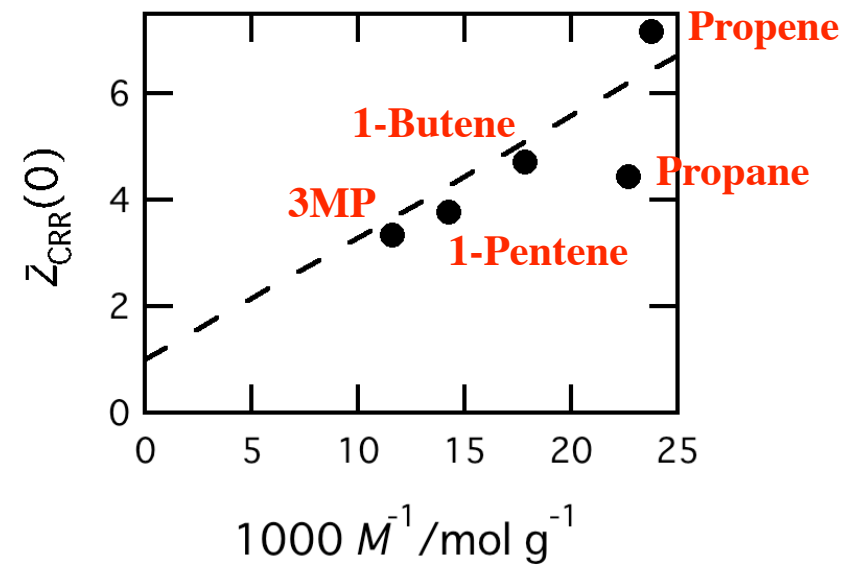
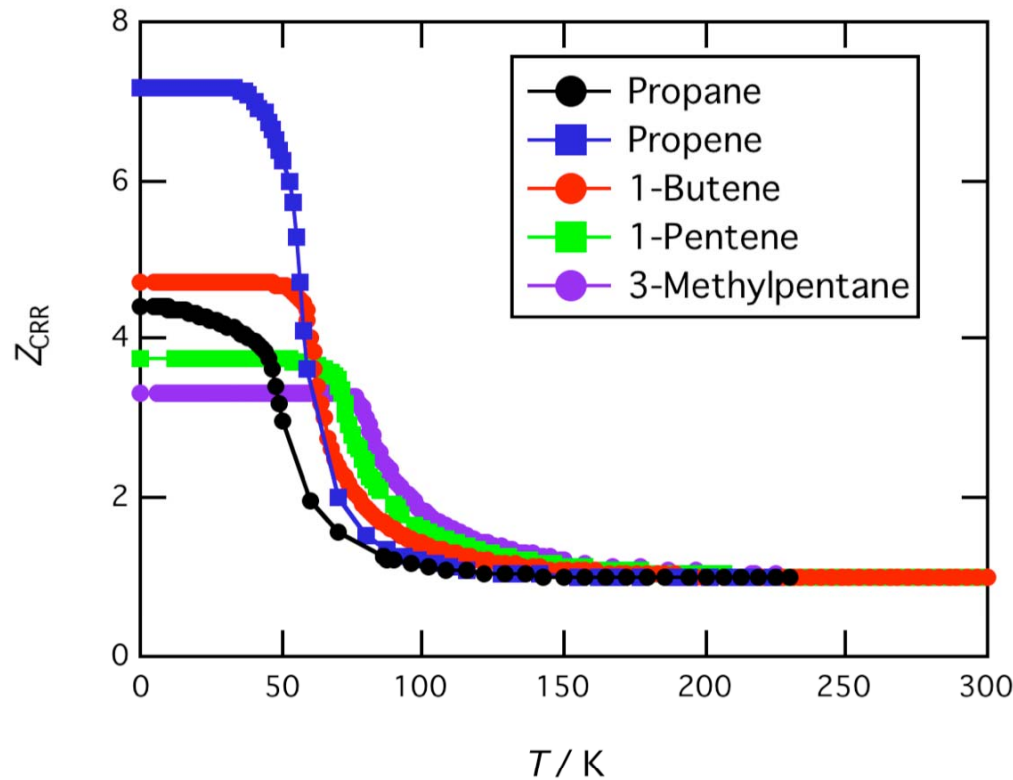
過剰熱容量と構造エントロピー



分子構造が単純になるほど残余エントロピーは減少

プロペンの S_c は非常に小さく、 $R \ln 2$ 程度である！

協同再配置領域(Cooperative Rearranging Region)

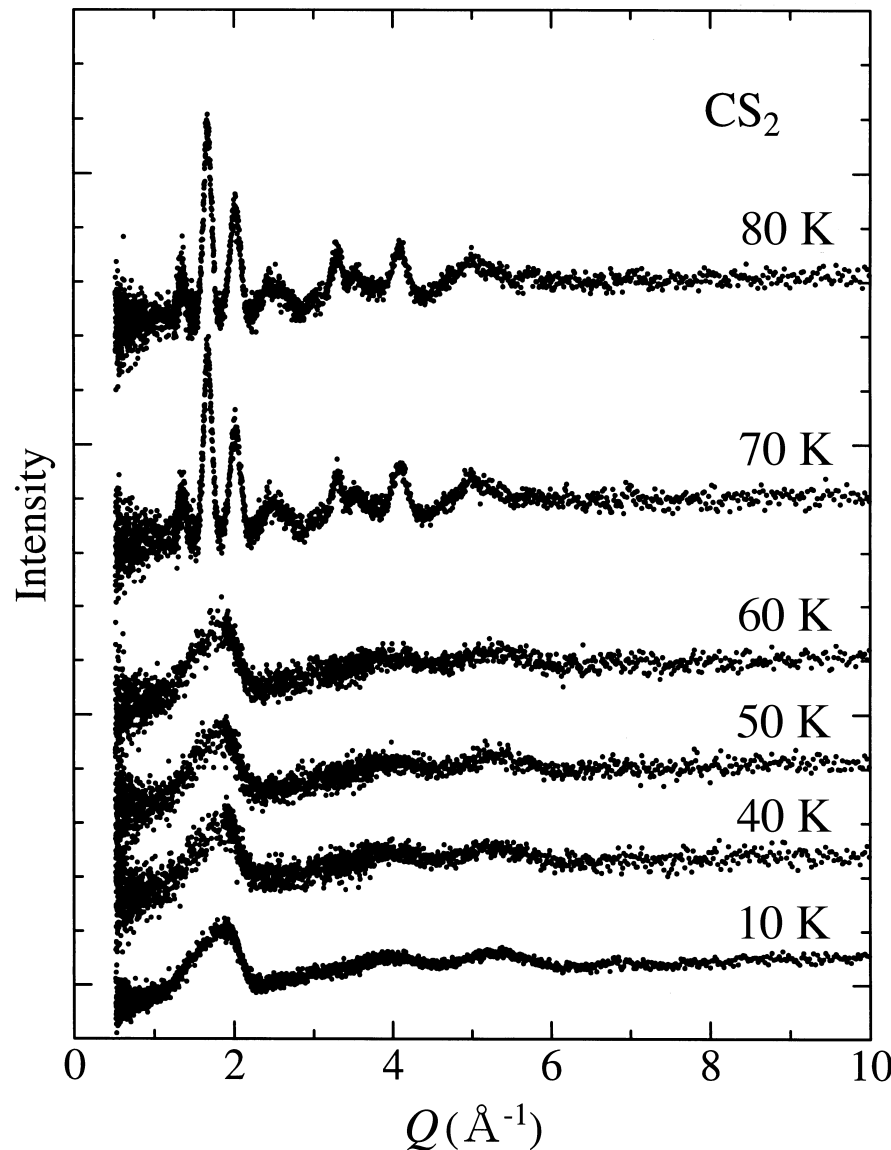


$$Z_{\text{CRR}}(T) = \frac{S_c(\infty)}{S_c(T)}$$

(Adam-Gibbs Theory)

CRR サイズは分子量が小さくなるほど増大

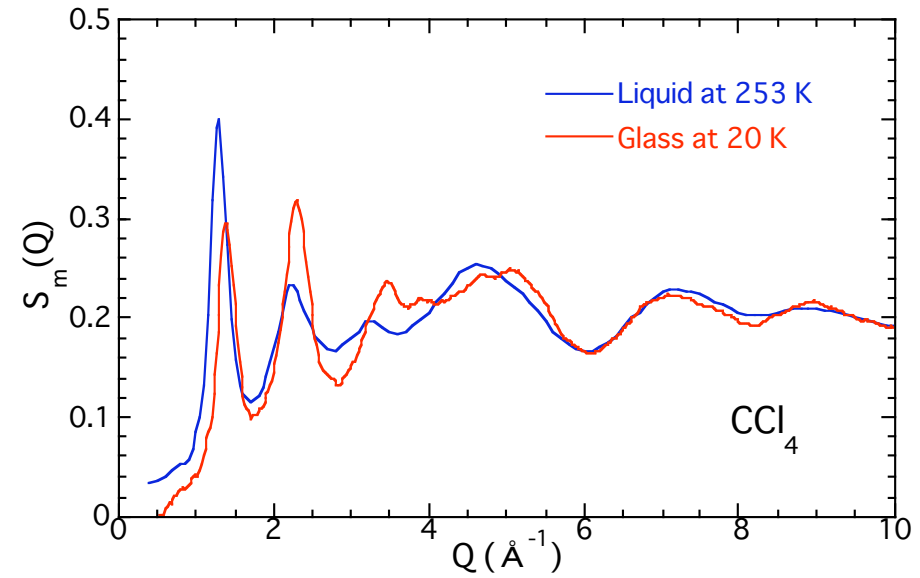
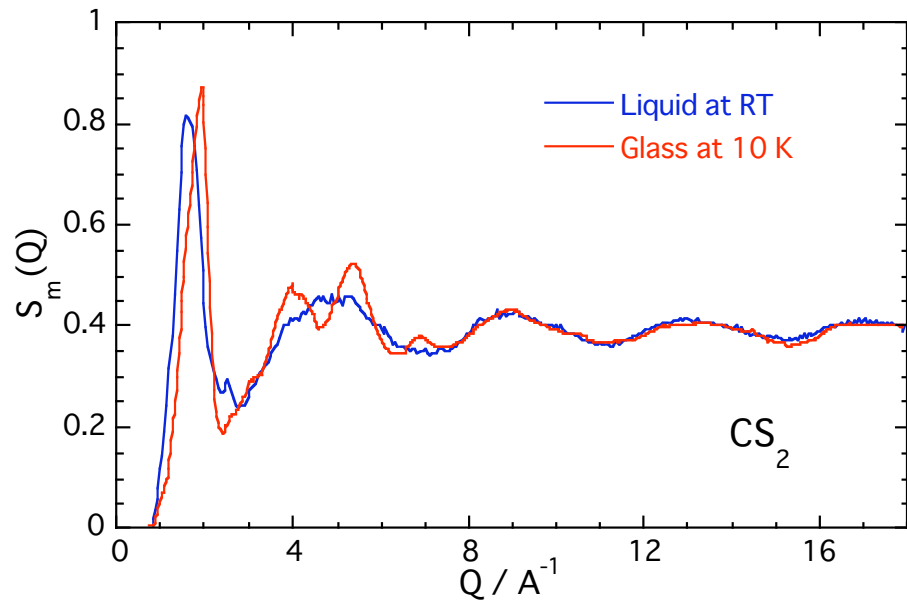
蒸着CS₂の中性子回折パターン



これまでで最も単純な分子ガラス

60 Kと70 Kの間で結晶化が起こる

液体とガラスの構造因子の比較



高 Q 領域での一致 → 分子構造は不变

ガラスになると第 1 ピークが高 Q シフト → 密度上昇

第 2、第 3 ピークが強くシャープに → 分子間相関の増大

CCl₄ の配向相關モデル(Misawa 1989)

$$S_m(Q) = S_m^u(Q) + \Delta S_m(Q)$$

$S_m^u(Q)$: structure factor for uncorrelated molecules

$\Delta S_m(Q)$: correction term from preferred orientation

$$S_m^u(Q) = F_1(Q) + F_u(Q)[S_c^u(Q) - 1]$$

$F_1(Q)$: intramolecular structure factor

$F_u(Q)$: intermolecular form factor

$S_c^u(Q)$: molecular center structure factor

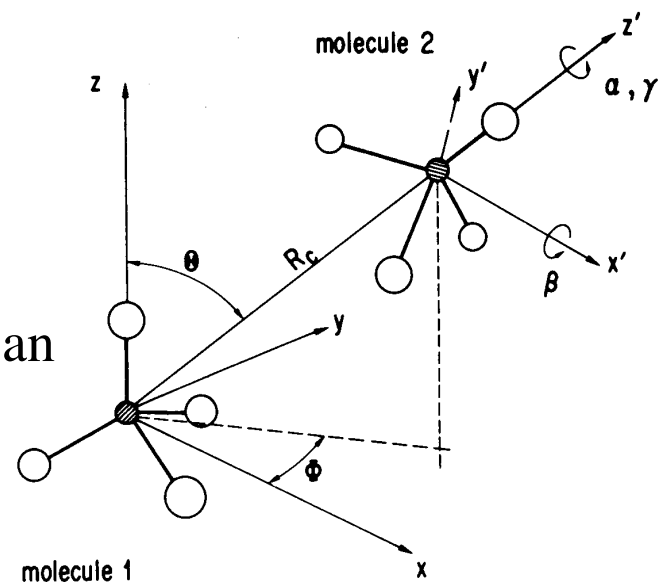
$$S_c^u(Q) - 1 = (S_{hs}(Q) - 1) \exp(-\Delta_{hs}^2 Q^2 / 2)$$

$S_{hs}(Q)$: structure factor of hard sphere having an effective mass σ and packing factor η

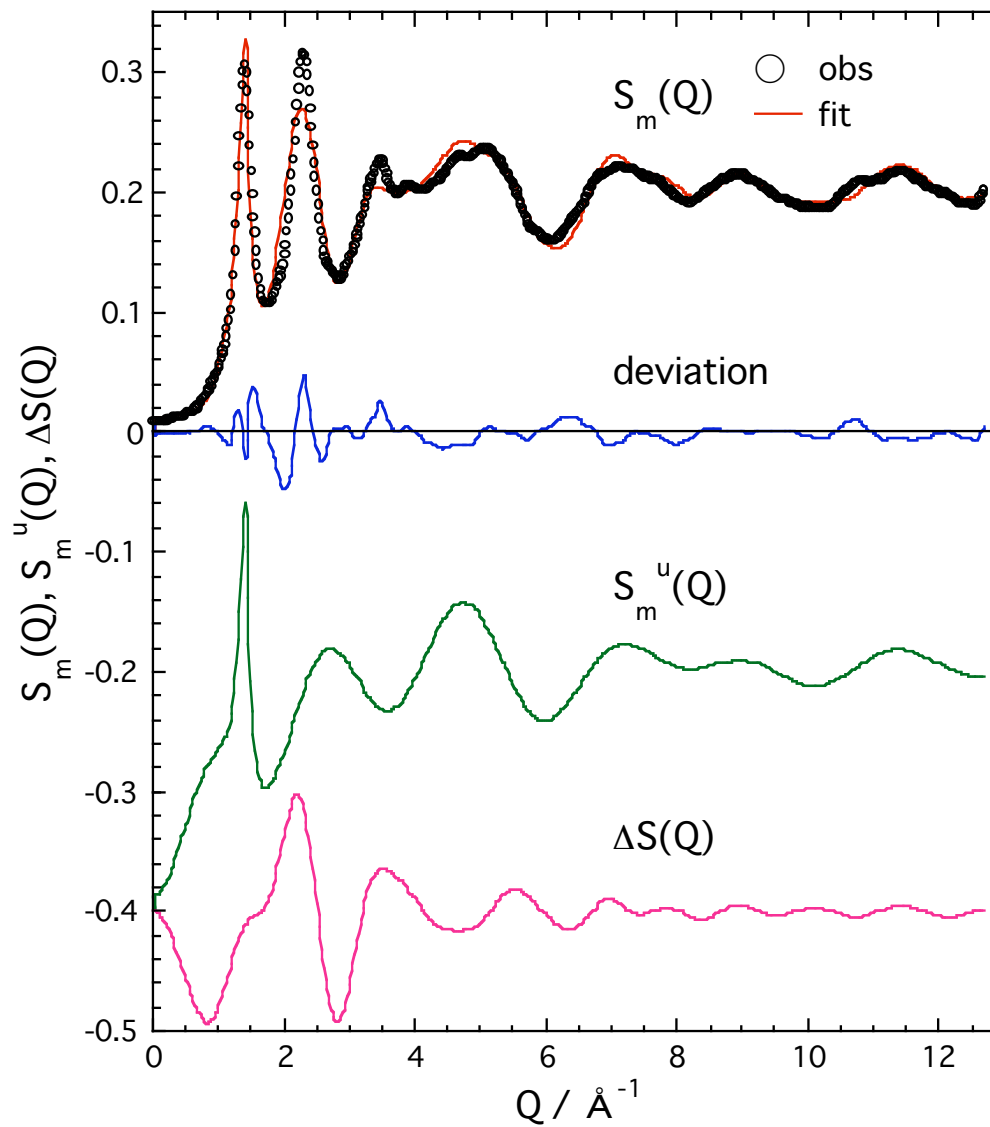
$$\begin{aligned} \Delta S_m(Q) = & n_c \left[\left(\sum_{\alpha} b_{\alpha} \right)^{-2} \sum_{\alpha\beta} b_{\alpha} b_{\beta} \langle \exp(iQ(\mathbf{R}_c + \mathbf{r}_{\alpha} - \mathbf{r}_{\beta})) \rangle \right. \\ & \times \exp(-\Delta_{\alpha\beta}^2 Q^2 / 2) - F_u(Q) (\sin QR_u / QR_u) \\ & \times \exp(-\Delta R_u^2 Q^2 / 2) \end{aligned}$$

$$\Delta_{\alpha\beta} = \underline{\delta_c} |\mathbf{R}_c + \mathbf{r}_{\alpha} - \mathbf{r}_{\beta}| \quad \delta_c: \text{fluctuation of preferred orientation}$$

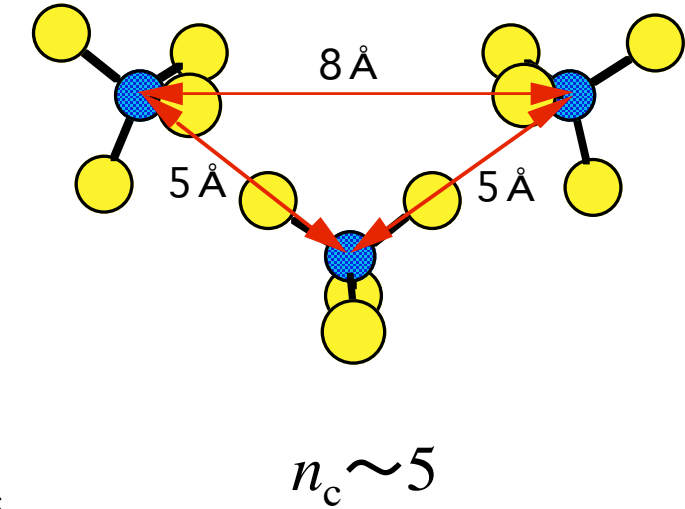
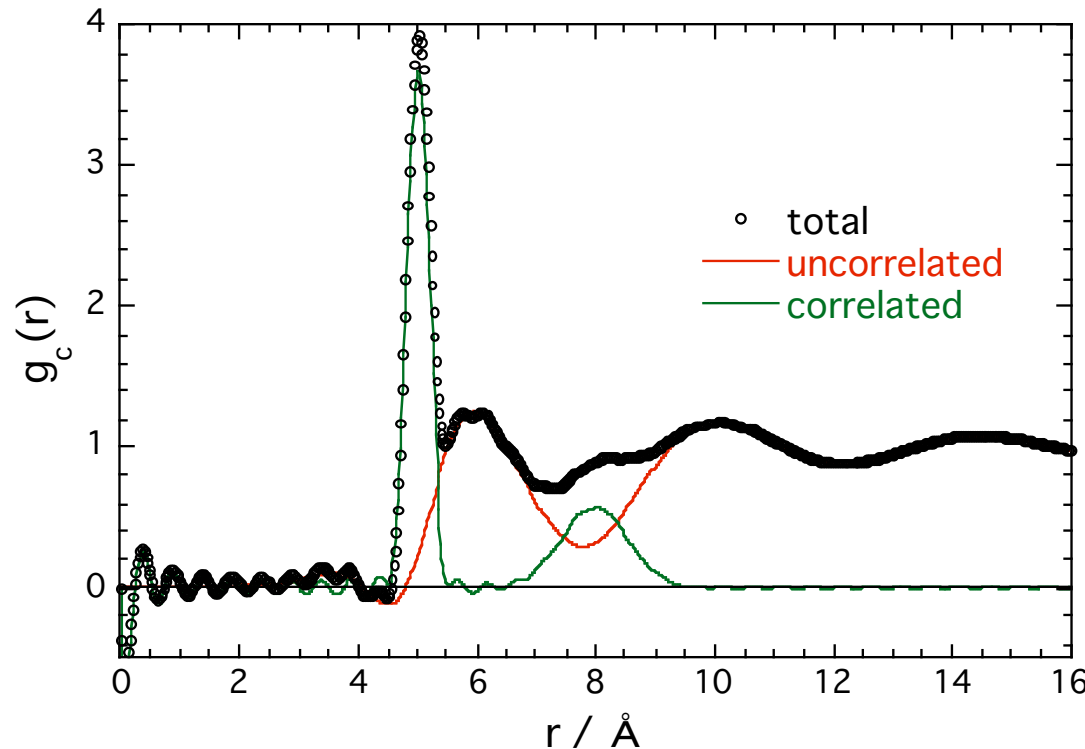
$$\Delta R_u = \delta_u R_u \quad n_c: \text{no. of correlated molecules}$$



CCl_4 ガラスのフィッティングの結果

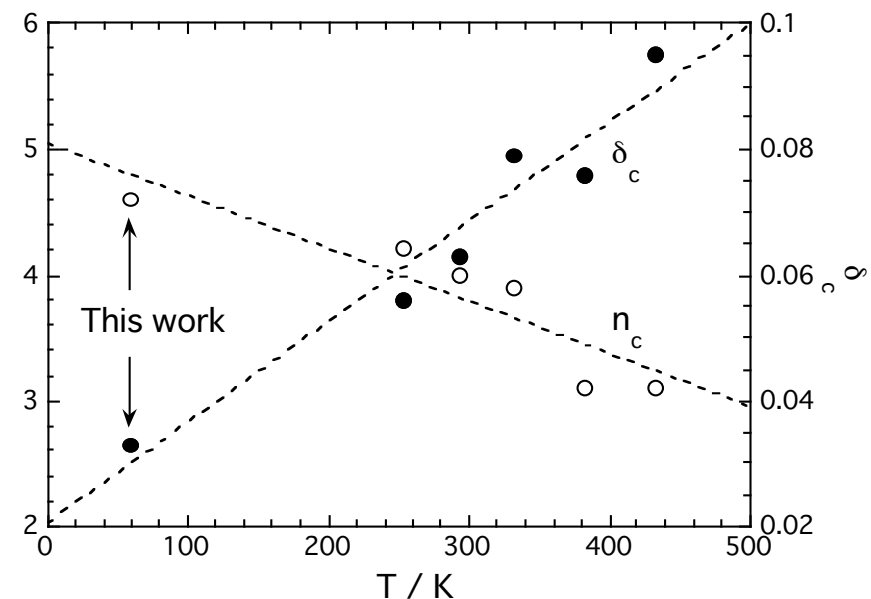
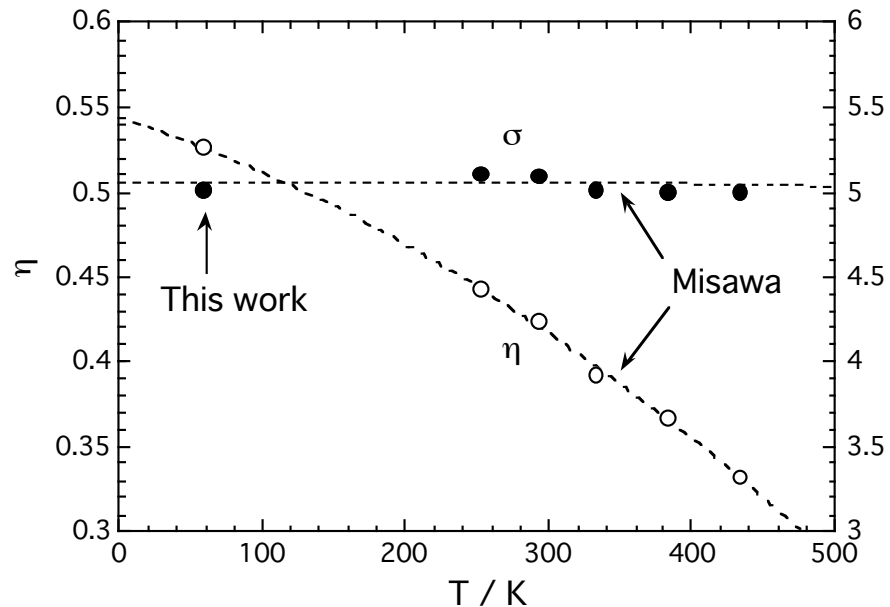


CCl_4 ガラスの分子中心分布



配向相関は第2近接分子まで及んでいる

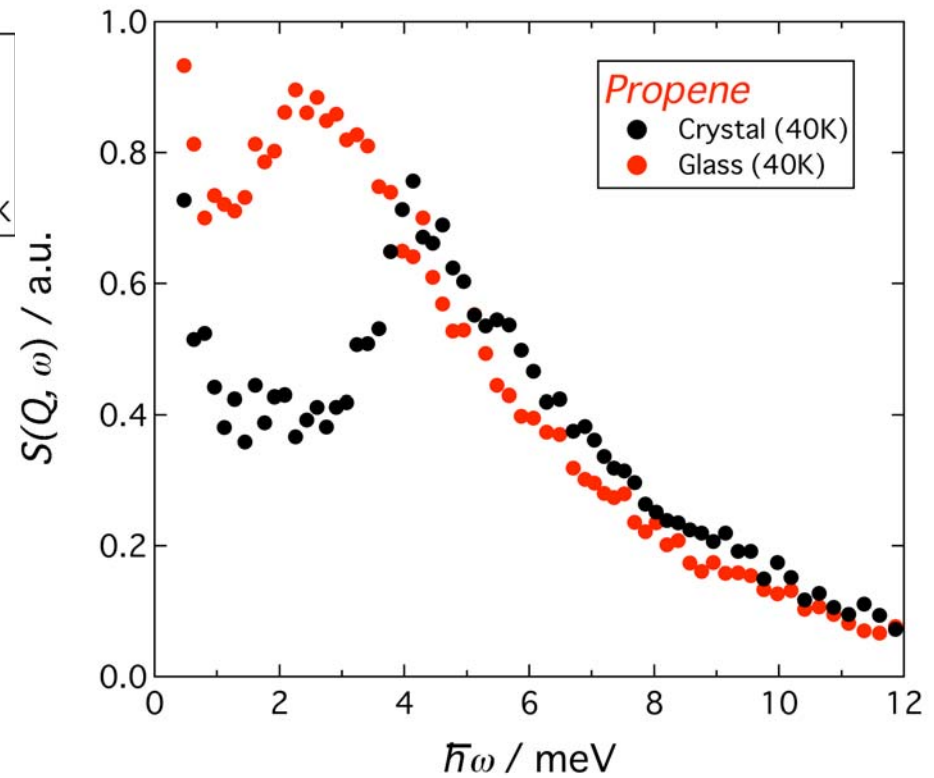
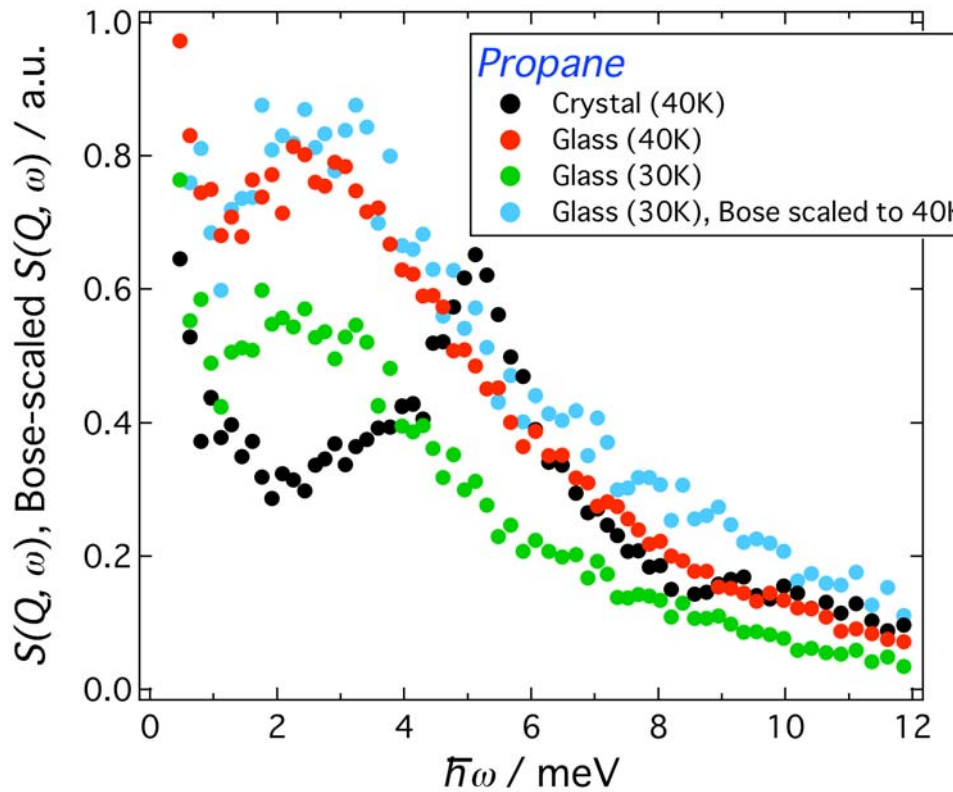
フィッティングパラメータの温度依存性



密度と配向相関は温度を下げるほど大きくなる

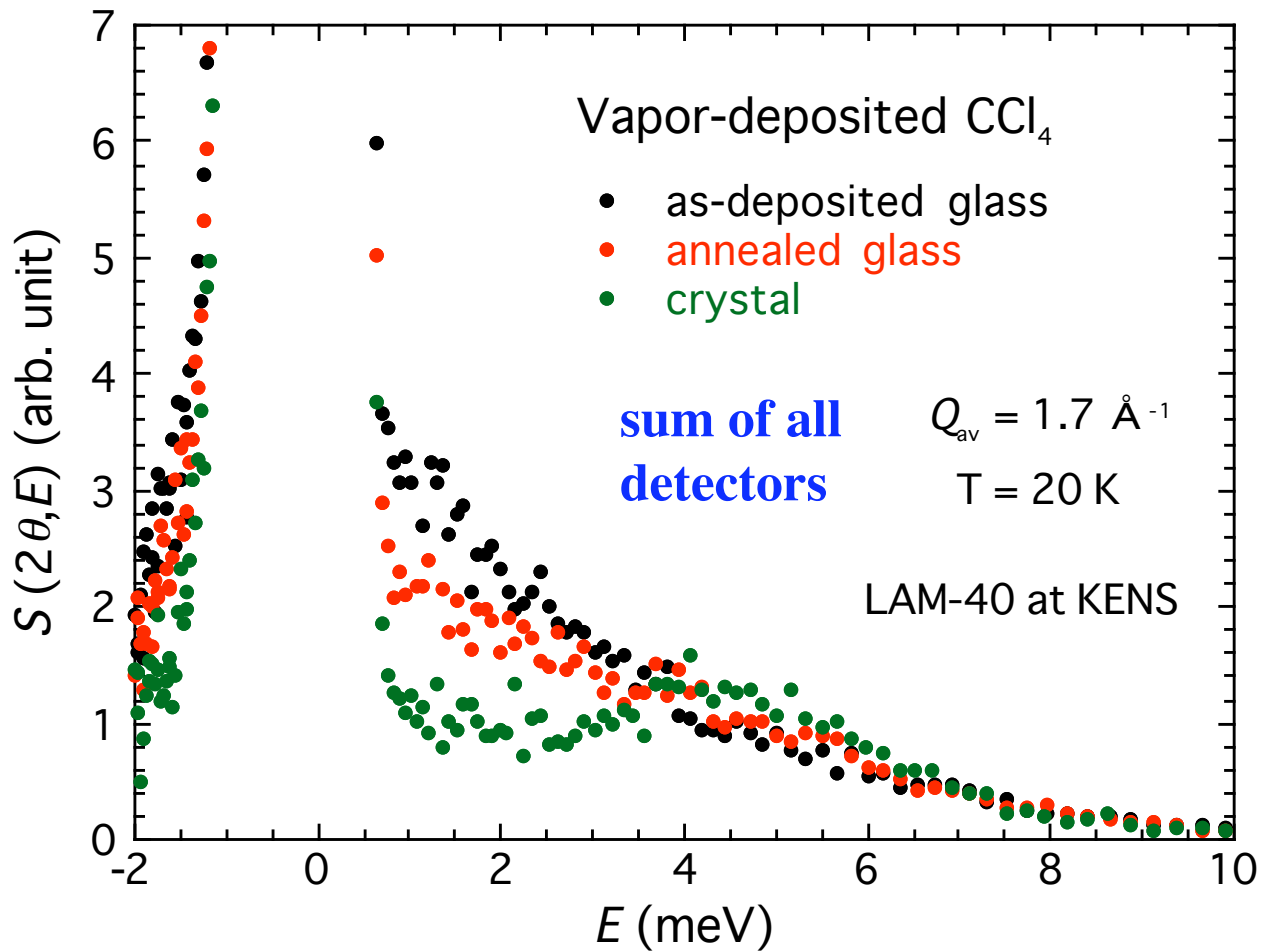
ガラス転移温度で5個ぐらいの分子が相関をもっている

プロパンとプロペンの低エネルギー励起



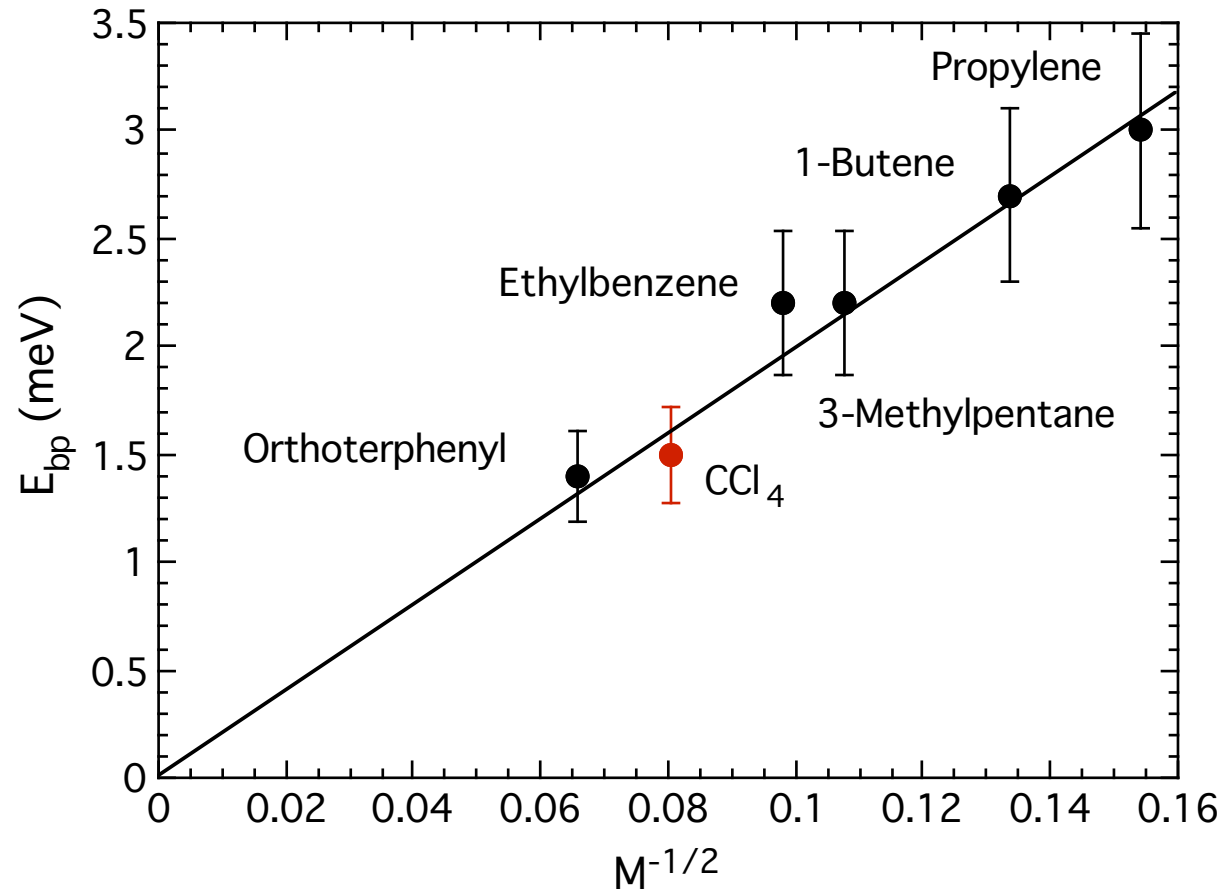
ボゾンピークは結晶のTAモードの領域に現れる

CCl_4 ガラスの低エネルギー励起



ボゾンピークは1.5 meV付近に現れる
顕著なアニール効果

ボゾンピークエネルギーの分子量依存性



一見、単振動的に見える

まとめ

- (1) CCl_4 , CS_2 , propene, propane のガラス状態が蒸着法により実現された
- (2) CS_2 は過去に観測されたガラスの中で最も単純で低い T_g をもつ
- (3) CRR のサイズは分子量が減るとともに増加する
- (4) ΔC_p は T_g と T_K の間の温度 T_0 によりスケールされる
- (5) ガラス状態での相関分子数(CRRサイズに対応)は 5程度
- (6) ボゾンピークは結晶のTAモードのエネルギー付近に現れる

今後の計画

- (1) 熱量計の性能アップ
($T_{\text{VD}} = 5 \text{ K}$, $T_{\text{min}} = 2 \text{ K}$)
- (2) 更に単純な分子ガラスへの挑戦
(CS_2 , CO , N_2 , ...)
- (3) J-PARCの高性能装置による
蒸着ガラスの研究



明日土曜日の実習の予定

1. 13時30分、物性研に集合
2. 山室研究室の見学
3. 実験
 - (a) ガラス管の中でガラスを作る
 - (b) OTPのDSC実験(C_p の測定)
 - (c) OTPの粘性率測定
5. 実験の考察とまとめ

17時頃解散予定